

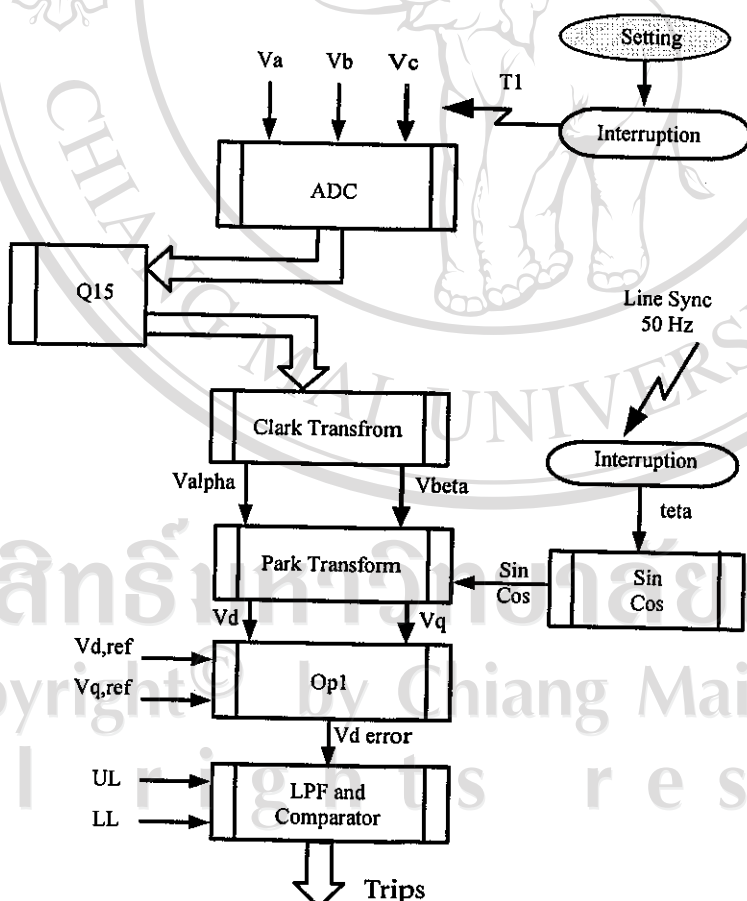
บทที่ 5

ผลการวิจัย

สำหรับบทนี้จะนำเสนอในส่วนผลการทดสอบของการตรวจจับแรงดันตกชั่วขณะ
ชนิดสามเฟส โดยอาศัยาร์คแวร์และซอฟต์แวร์ที่ได้พัฒนาขึ้นตามที่ได้กล่าวไว้ในบทที่ 4 โดยจะ^{เปลี่ยนแปลง}เป็นการทดสอบตามเงื่อนไขในสภาวะการเกิดแรงดันตกชั่วขณะชนิดสามเฟสแบบสมดุลและแบบ^{ไม่}สมดุล

5.1 การทดสอบของการตรวจจับแรงดันตกชั่วขณะชนิดสามเฟส

อัลกอริทึมที่ได้อธิบายในหัวข้อ 4.3 ของบทที่ 4 จะถูกนำมาปฏิบัติการในตัว
ประมวลผลสัญญาณดิจิตอล (DSP) TMS320F2812 โดยที่โปรแกรมซอฟต์แวร์จะเขียนด้วยภาษาซี
(C Code) ผ่านโปรแกรมสำเร็จรูป Code Composer Studio (CCS) ของบริษัท Texas Instruments
โดยโครงสร้างของโปรแกรมแสดงดังรูปที่ 5.1

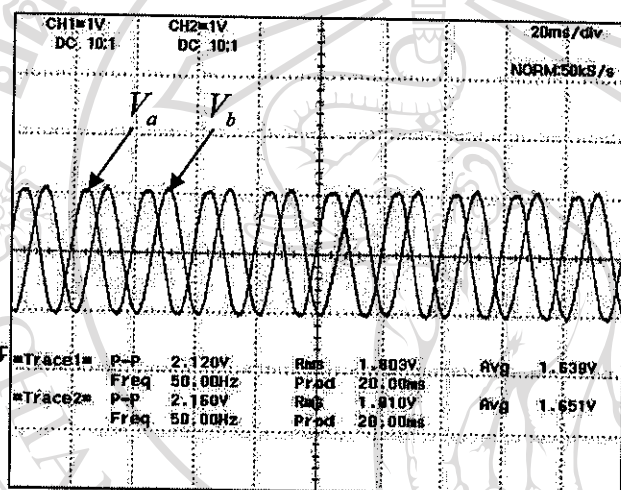


รูปที่ 5.1 โครงสร้างของโปรแกรมที่เขียนลงใน DSP

โดยสามารถอธิบายในแต่ละส่วนของโปรแกรมดังนี้

5.1.1 การแปลงสัญญาณอะโนดลอกเป็นดิจิตอล (Analog to digital conversion:ADC)

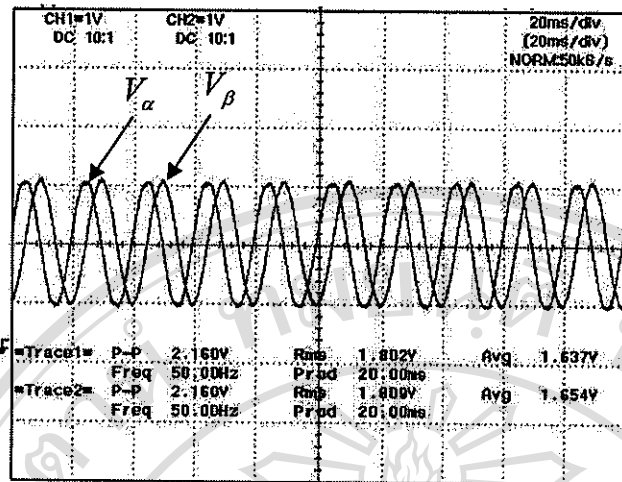
อัลกอริทึมจะเริ่มจากการแปลงสัญญาณของแรงดันอินพุตซึ่งเป็นสัญญาณอะโนดลอก เป็นดิจิตอล โดยที่โปรแกรมจะมีการสุ่มสัญญาณที่ความถี่ 10 kHz ของ DSP และเก็บค่าจากการ สุ่มสัญญาณไว้ในหน่วยความจำของ DSP ในรูปแบบของ Q15 จากนั้นจะถูกแปลงกับเป็น สัญญาณอะโนดลอก โดยตัวแปลงสัญญาณดิจิตอลเป็นอะโนดลอก และจะถูกยกระดับสัญญาณ (Offset) ขึ้นไป 1.65 โวลต์ ดังแสดงในรูปที่ 5.2



รูปที่ 5.2 การสุ่มสัญญาณของแรงดันอินพุตในรูปแบบของ Q15

5.1.2 การแปลงแรงดันสามเฟสเป็นแรงดันสองเฟสบนแกนหยุดนิ่ง (Clark transform)

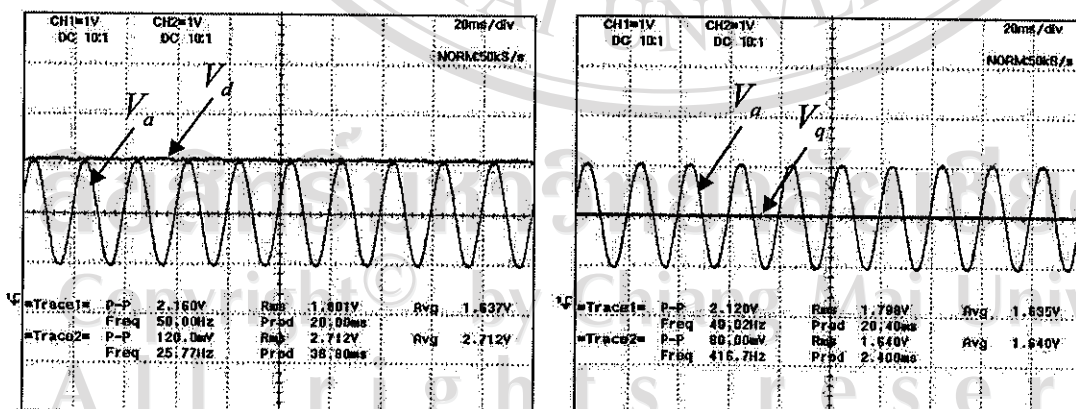
แรงดันอินพุตที่ถูกจัดเก็บในรูปแบบของ Q15 จะถูกแปลงให้เป็นสัญญาณแรงดันสอง เฟสบนแกนหยุดนิ่ง โดยใช้สมการที่ (3.2) ดังรูปที่ 5.3 จะแสดงผลการทดสอบการแปลงแรงดัน ชนิดสามเฟส (V_a, V_b, V_c) ให้ไปอยู่ในแกนหยุดนิ่ง (V_α, V_β) ซึ่ง V_α จะมีรูปสัญญาณเหมือนกับ V_a และ V_β ก็มีรูปสัญญาณเหมือนกับ V_a เช่นกันแต่จะมีเฟสนำอยู่ 90°



รูปที่ 5.3 การแปลงแรงดันสามเฟสเป็นแรงดันสองเฟสบนแกนหยุดนิ่ง

5.1.3 การแปลงแรงดันสองเฟสบนแกนหยุดนิ่งไปอยู่ในแกนที่หมุนด้วยความเร็วซิงโกรนัส (Park transform)

สัญญาณแรงดันสองเฟสบนแกนหยุดนิ่งจะถูกแปลงให้เป็นสัญญาณไฟฟ้ากระแสตรงบนแกนที่หมุนด้วยความเร็วซิงโกรนัส โดยใช้สมการที่ (3.5) ฟังก์ชันไซน์และโคไซน์ที่ใช้สำหรับการแปลงจะถูกเรียกมาจากการเปิดคู (Look-up table) ในหน่วยความจำของ DSP ซึ่งการสร้างค่าตัวigonometric เหล่านี้จะซิงโกรในซึ่งกันความถี่ของแหล่งจ่าย รูปที่ 5.4 แสดงผลการทดสอบการแปลงแรงดันสองเฟสบนแกนหยุดนิ่งให้ไปอยู่ในรูปของสัญญาณไฟฟ้ากระแสตรงบนแกนที่หมุนด้วยความเร็วซิงโกรนัส (V_d, V_q)



ก) แรงดันเฟส a (V_a) และสัญญาณ V_d

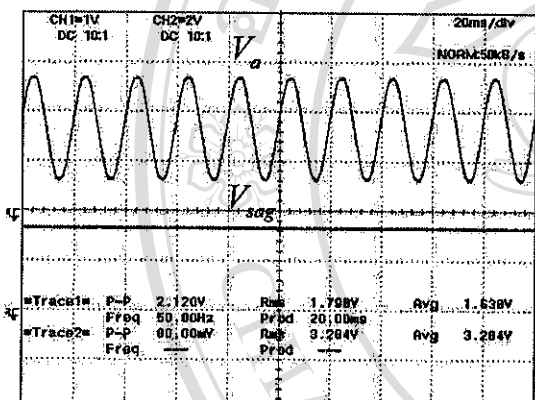
ข) แรงดันเฟส a (V_a) และสัญญาณ V_q

รูปที่ 5.4 แรงดันอินพุทธลังจากการแปลงให้อยู่ในรูปแรงดันกระแสตรง

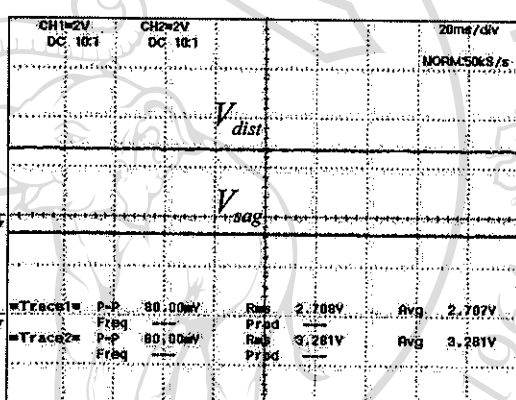
บนแกนที่หมุนด้วยความเร็วซิงโกรนัส

5.1.4 กระบวนการตรวจจับการรบกวน (Disturbance Detection)

ในกระบวนการนี้จะมี 2 ส่วนคือส่วนหาค่าความผิดเพี้ยนของสัญญาณ V_a คำนวณจากสมการที่ (3.20) และส่วนตัวกรองความถี่ต่ำผ่าน (LPF) กับตัวเปรียบเทียบไฮสเตอริซิส (Hysteresis comparator) โดยสัญญาณที่ผ่าน LPF (V_{dist}) จะถูกกรองให้มีความระบุเรียบมากขึ้น และตั้งส่วนขอบเขตล่างที่ 90% ของแรงดันอินพุตในสภาวะปกติ และขอบเขตบนตั้งที่ 5% นอกจากนี้จากขอบเขตล่างเพื่อหลีกเลี่ยงสัญญาณรบกวนจากค่ารั่วคลอก รูปที่ 5.5 แสดงแรงดันเฟส a (V_a) และสัญญาณของ V_{dist} ของแรงดันอินพุตในสภาวะปกติที่มีความสัมพันธ์กับสัญญาณ Trip Sag (V_{sag}) ซึ่งสัญญาณ V_{sag} จะผลิตออกทางช่องสัญญาณ I/O ของ DSP โดยมีระดับลอจิกเป็น “0” กับ “1”



ก) แรงดันเฟส a และสัญญาณ V_{sag}



ก) สัญญาณ V_{dist} และสัญญาณ V_{sag}

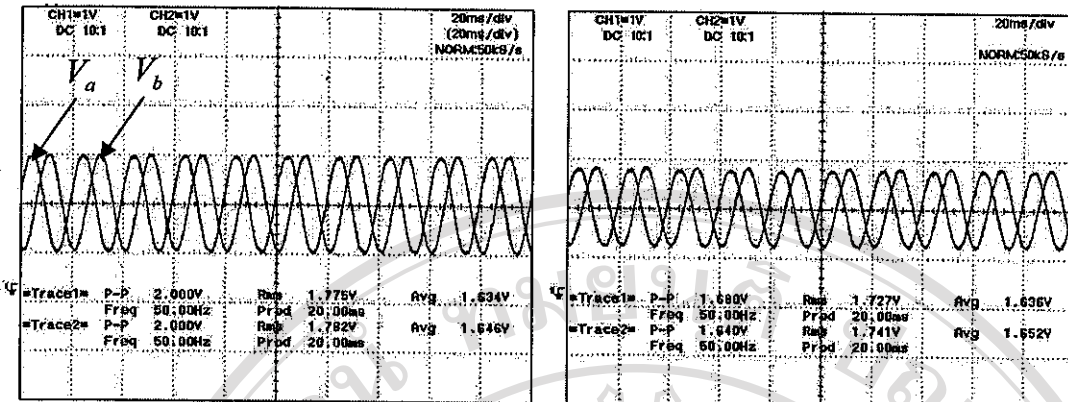
รูปที่ 5.5 แรงดันเฟส a (V_a) และสัญญาณของ V_{dist} ของแรงดันอินพุตในสภาวะปกติ

ที่มีความสัมพันธ์กับสัญญาณ Trip Sag (V_{sag})

จากการทดสอบจะเห็นว่าในสภาวะแรงดันปกติ สัญญาณไฟฟ้ากระแสตรงบนแกนที่หมุนด้วยความเร็วคงที่ แรงดัน LPF (V_{dist}) จะมีค่าเท่ากับค่าของแรงดันอ้างอิง จึงส่งผลให้สัญญาณ Trip Sag อยู่ในสภาวะปกติโดยมีระดับลอจิกเป็น “1” (3.3V) ดังรูปที่ 5.5 (ก)

5.2 ผลการทดสอบในสภาวะการเกิดแรงดันตกชั่วขณะนิส sama เฟสแบบสมดุล

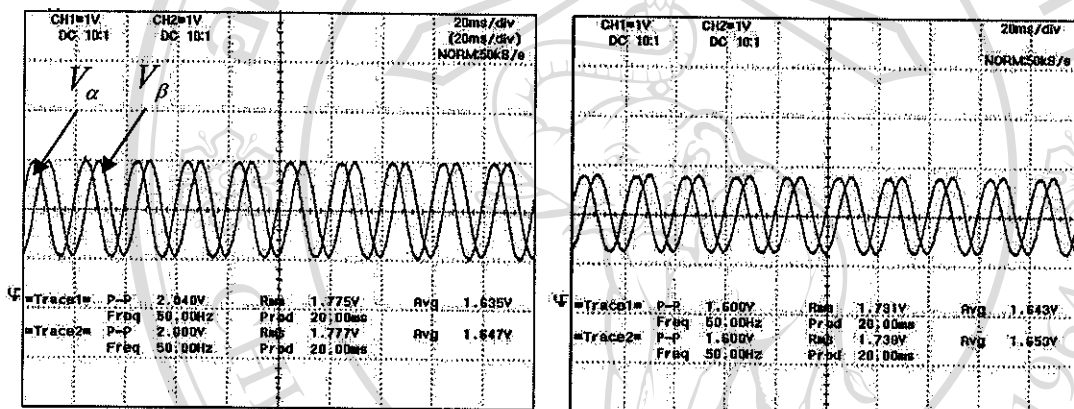
การทดสอบในสภาวะการเกิดแรงดันตกชั่วขณะนิส sama เฟสแบบสมดุลจะทดสอบภายใต้แรงดันตกชั่วขณะนาด 90% (แรงดันหายไป 10% และเหลือแรงดันอยู่ 90%) และขนาด 50% และได้ผลการทดสอบดังแสดงในรูปที่ 5.6 – 5.9



ก) 90% three-phase balanced sag

ก) 50% three-phase balanced sag

รูปที่ 5.6 การสั่นสะเทือนของแรงดันอินพุตในสภาพการเกิดแรงดันตกชั่วขณะแบบสมดุล

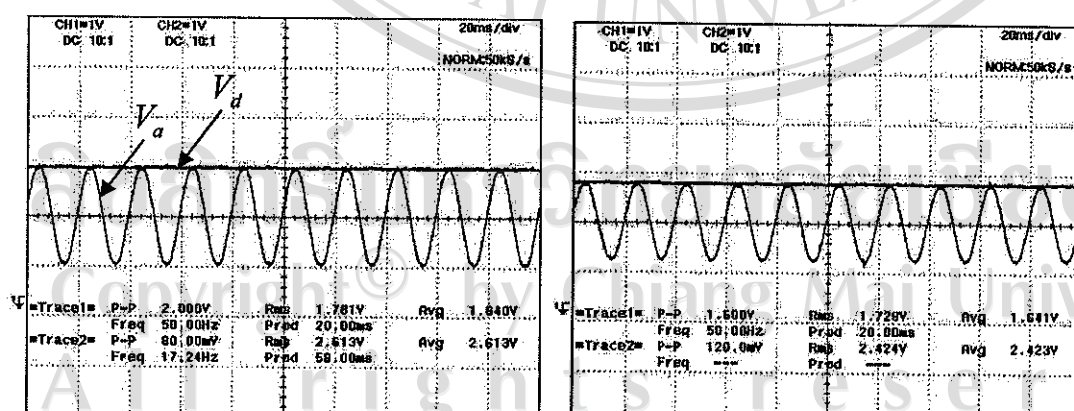


ก) 90% three-phase balanced sag

ก) 50% three-phase balanced sag

รูปที่ 5.7 การแปลงแรงดันสามเฟสเป็นแรงดันสองเฟสบนแกนหยุดนิ่ง

ในสภาพการเกิดแรงดันตกชั่วขณะแบบสมดุล

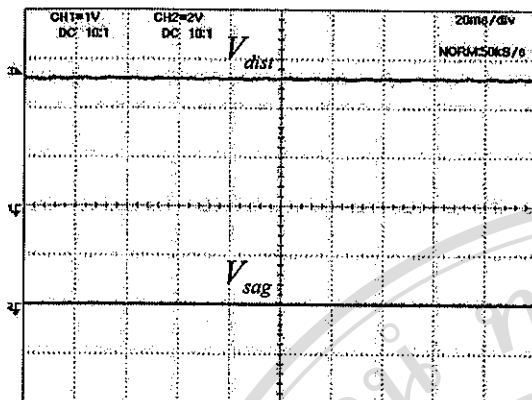


ก) 90% three-phase balanced sag

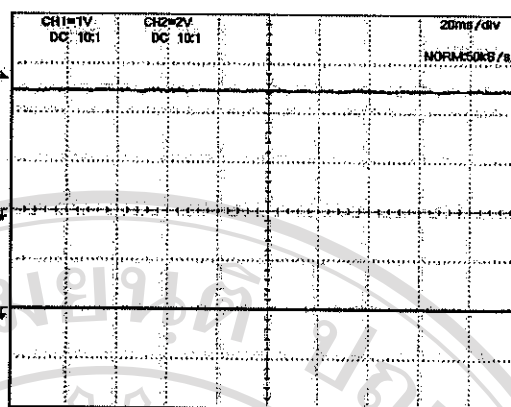
ก) 50% three-phase balanced sag

รูปที่ 5.8 แรงดันอินพุตหลังจากการแปลงให้อยู่ในรูปแรงดันกระแสตรงบนแกนที่หมุน

ด้วยความเร็วซิง โครนัสในสภาพการเกิดแรงดันตกชั่วขณะแบบสมดุล



ก) 90% three-phase balanced sag



ก) 50% three-phase balanced sag

รูปที่ 5.9 สัญญาณของ V_{dist} และสัญญาณ Trip Sag (V_{sag})

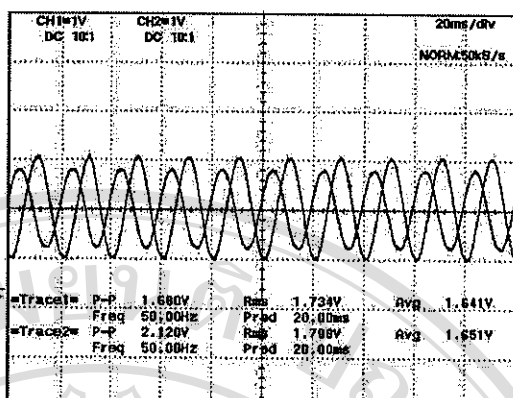
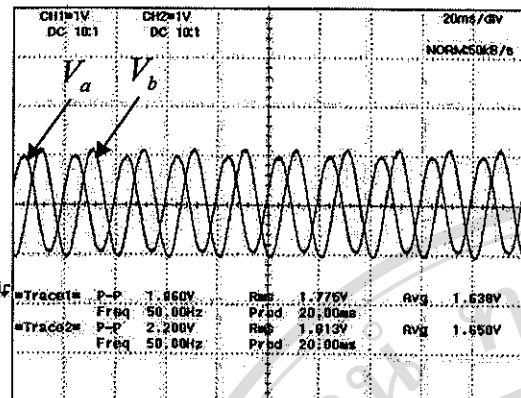
ในสภาวะการเกิดแรงดันตกชั่วขณะแบบสมดุล

จากการทดสอบในสภาวะการเกิดแรงดันตกชั่วขณะแบบสมดุลจะเห็นว่าแรงดันกระแสตรงบนแกนหมุนดังรูปที่ 5.9 สัญญาณ V_{dist} จะมีการเปลี่ยนแปลงโดยมีขนาดลดลงเมื่อเทียบกับสัญญาณในรูปที่ 5.5 ซึ่งเป็นสภาวะปกติ แต่สัญญาณจะไม่เกิดการแกร่ง เมื่อสัญญาณ V_{dist} มีค่าเป็นไปตามเงื่อนไขในขอบเขตที่ตั้งไว้ของตัวเปรียบเทียบฮีสเตรอริซึส จึงส่งผลให้สัญญาณ Trip Sag เป็นไปจากระดับลอจิก “1” เป็นระดับลอจิก “0” ซึ่งจะทำให้เปลี่ยนการทำงานระหว่างสวิตช์หลักกับสวิตช์ช่วย

5.3 ผลการทดสอบในสภาวะการเกิดแรงดันตกชั่วขณะชนิดสามเฟสแบบไม่สมดุล

การทดสอบในสภาวะการเกิดแรงดันตกชั่วขณะชนิดสามเฟสแบบไม่สมดุลจะทดสอบภายใต้แรงดันตกชั่วขณะขนาด 90% และขนาด 50% โดยทดลองไปหนึ่งเฟสที่เฟส a และได้ผลการทดสอบดังแสดงในรูปที่ 5.10 – 5.13

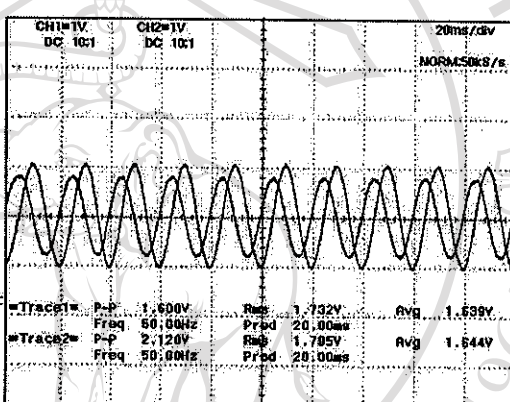
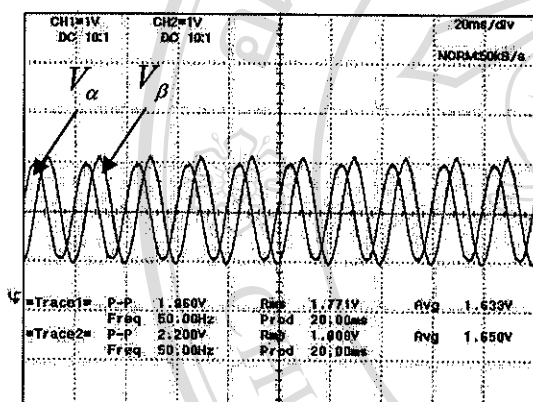
ลิขสิทธิ์มหาวิทยาลัยเชียงใหม่
Copyright © by Chiang Mai University
All rights reserved



ก) 90% three-phase unbalanced sag

ก) 50% three-phase unbalanced sag

รูปที่ 5.10 การสุ่มสัญญาณของแรงดันอินพุตในสภาพการเกิดแรงดันตกชั่วขณะไม่แบบสมดุล

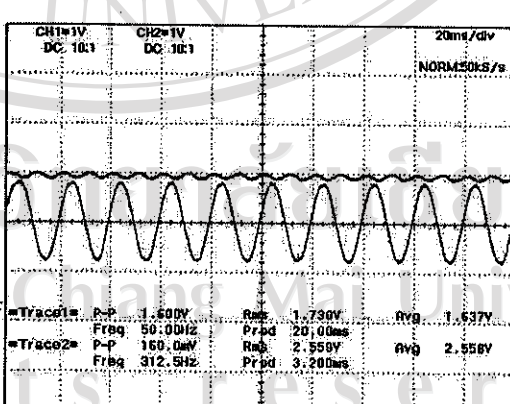
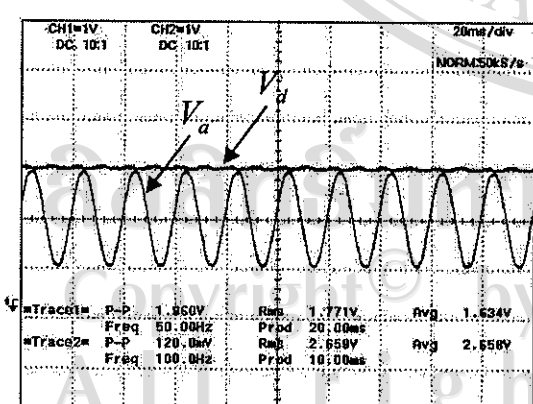


ก) 90% three-phase unbalanced sag

ก) 50% three-phase unbalanced sag

รูปที่ 5.11 การแปลงแรงดันสามเฟสเป็นแรงดันสองเฟสบนแกนหยุดนิ่ง

ในสภาพการเกิดแรงดันตกชั่วขณะแบบไม่สมดุล

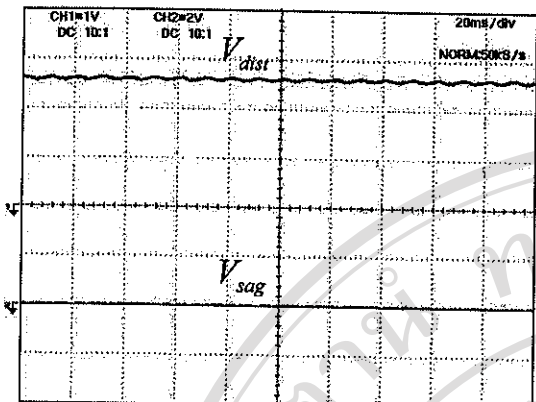


ก) 90% three-phase unbalanced sag

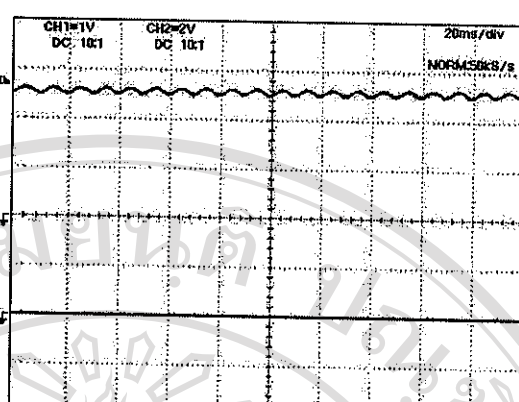
ก) 50% three-phase unbalanced sag

รูปที่ 5.12 แรงดันอินพุตหลังจากการแปลงให้อยู่ในรูปแรงดันกระแสตรงบนแกนที่หมุน

ด้วยความเร็วซิง โครนัสในสภาพการเกิดแรงดันตกชั่วขณะแบบไม่สมดุล



ก) 90% three-phase unbalanced sag



ข) 50% three-phase unbalanced sag

รูปที่ 5.13 ตัวอย่างของ V_{dist} และสัญญาณ Trip Sag (V_{sag})

ในสภาวะการเกิดแรงดันตกชั่วขณะแบบไม่สมดุล

จากผลการทดสอบในสภาวะการเกิดแรงดันตกชั่วขณะแบบไม่สมดุลจะเห็นว่าแรงดันกระแสตรงบนแกนหุนดังรูปที่ 5.13 สัญญาณ V_{dist} จะมีการเปลี่ยนแปลงโดยมีขนาดคล่องเมื่อเทียบกับสัญญาณในรูปที่ 5.5 ซึ่งเป็นสภาวะปกติและจะเกิดการแกว่งโดยมีองค์ประกอบความถี่ 2 เท่าความถี่ในการแกว่งจะเป็น 2 เท่าของความถี่มูลฐาน(Fundamention frequency) จึงส่งผลให้สัญญาณ Trip Sag เปลี่ยนจากระดับลอจิก “1” เป็นระดับลอจิก “0” ซึ่งจะทำให้เปลี่ยนการทำงานระหว่างสวิตช์หลักและสวิตช์ช่วย

5.4 ผลการประเมินอัลกอริทึม

แรงดันตกชั่วขณะชนิดสามเฟสสามารถเกิดได้ทั้งแบบสมดุลและแบบไม่สมดุล และมีขนาดของแรงดันลดลงตั้งแต่ 10% ถึง 90% ของแรงดันประสิทธิผลปกติ และสามารถเกิดขึ้นได้ที่เวลาต่าง ๆ ในช่วงหนึ่งคานเวลา (20 มิลลิวินาที) [4] องค์ประกอบเหล่านี้จะทำให้ยากในการสร้างอัลกอริทึมเพื่อใช้สำหรับตรวจจับแรงดันตกชั่วขณะ และจากผลการทดสอบสามารถวิเคราะห์ผลกระทบจากการประมวลผลโดยได้ดังต่อไปนี้

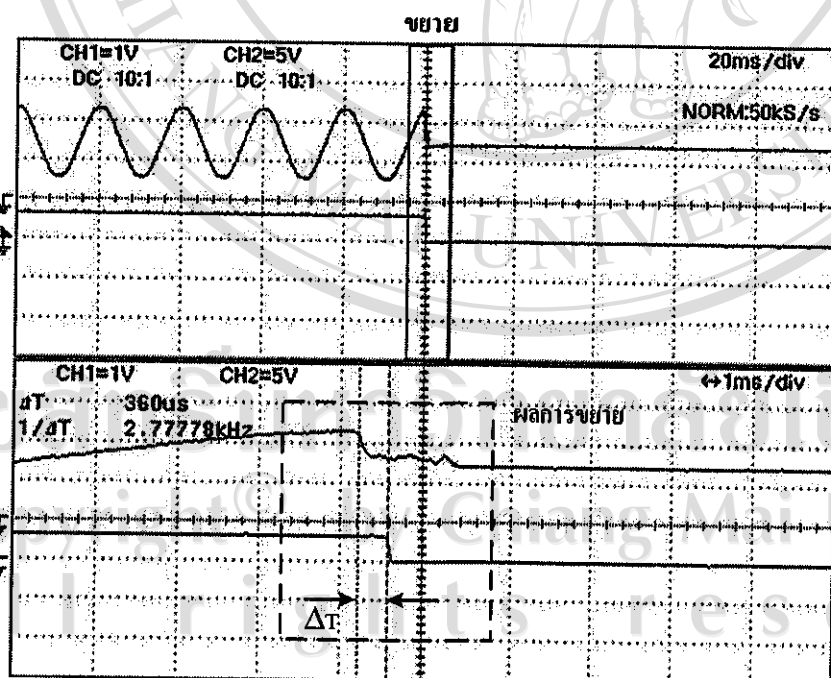
5.4.1 ผลกระทบของขนาดของแรงดันตก

ในการกระบวนการตรวจจับการรบกวน สัญญาณที่ถูกใช้ตรวจจับการรบกวนคือ V_{dist} โดยที่สัญญาณ V_{dist} จะเป็นแรงดันกระแสตรงและไม่มีค่ารั่วไหลในการณ์เกิดแรงดันตกชั่วขณะชนิดสามเฟสแบบสมดุล และจะเป็นแรงดันกระแสตรงและมีค่ารั่วไหลในกรณ์เกิดแรงดันตกชั่วขณะชนิดสามเฟสแบบไม่สมดุลโดยคลองไปสองเฟส และสำหรับการเกิดแรงดันตกชั่วขณะ

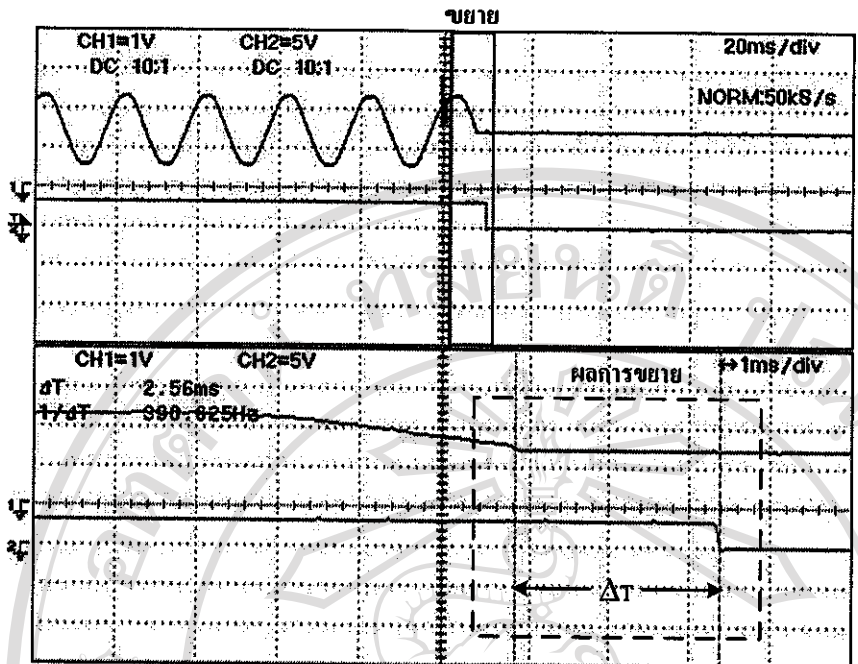
ชนิดสามไฟสแบบไม่สมดุลโดยปกติไปหนึ่งไฟ จะมีการแกว่งของสัญญาณในช่วงระหว่างค่าศูนย์ถึงค่าสูงสุดตามขนาดของแรงดันตก และมีค่าระลอกของสัญญาณ V_{dist} ที่สูงเมื่อเปรียบเทียบ กับการเกิดแบบอื่น จึงทำให้เป็นสภาวะที่ยากที่สุดสำหรับการตรวจจับอย่างทันทีทันใด และเมื่อเป็นแรงดันตกแบบดังนี้จะมีเวลาหน่วงในการตรวจจับที่มาก

5.4.2 อิทธิพลของจุดบนคลื่น (point – on – wave) ที่เกิดแรงดันตกชั่วขณะ

ในการเกิดแรงดันตกชั่วขณะสามารถเกิดขึ้นได้ที่แรงดันเป็นศูนย์ถึงที่แรงดันสูงสุด หรือจุดใด ๆ ในหนึ่งคืนเวลา ซึ่งจะเรียกว่า จุดบนคลื่น (point – on – wave) ซึ่งรูปที่ 5.14 แสดง แรงดันตกที่มีขนาดของแรงดันเหลือน้อยกว่า 10% (Voltage interruptions) โดยปกติไปหนึ่งไฟ แบบทันทีทันใด (Instantaneous) และหาเวลาหน่วงที่สัมพันธ์กับจุดบนคลื่นใน 2 กรัม คือกรณีที่มีเวลาหน่วงมากที่สุดและกรณีที่มีเวลาหน่วงน้อยที่สุด โดยรูปที่ 5.14 (ก) แสดงกรณีที่มีเวลาหน่วง (ΔT) น้อยที่สุดเท่ากับ $360 \mu\text{s}$ และรูปที่ 5.14 (ข) แสดงกรณีที่มีเวลาหน่วงมากที่สุดเท่ากับ 2.56 ms จึงพบว่าในกรณีเกิดแรงดันตกชั่วขณะที่จุดบนคลื่นใกล้จุดศูนย์ (Zero-crossing) ของ สัญญาณ ใช้นี้จะทำให้ใช้เวลาในการตรวจจับที่มากและกรณีเกิดแรงดันตกชั่วขณะที่จุดบนคลื่น ใกล้จุดค่าจุด (Peak) ของสัญญาณ ใช้นี้จะทำให้ใช้เวลาในการตรวจจับที่น้อย ดังนั้นจากผลการทดสอบสรุปได้ว่าอิทธิพลของจุดบนคลื่นที่เกิดแรงดันตกชั่วขณะ ในกรณีที่มีเวลาหน่วงมากที่สุด ข้อควรระวังที่สำคัญที่สุดในการออกแบบนี้คือการใช้เวลาในการตรวจจับน้อยกว่า $1/4$ คาน (5 ms)



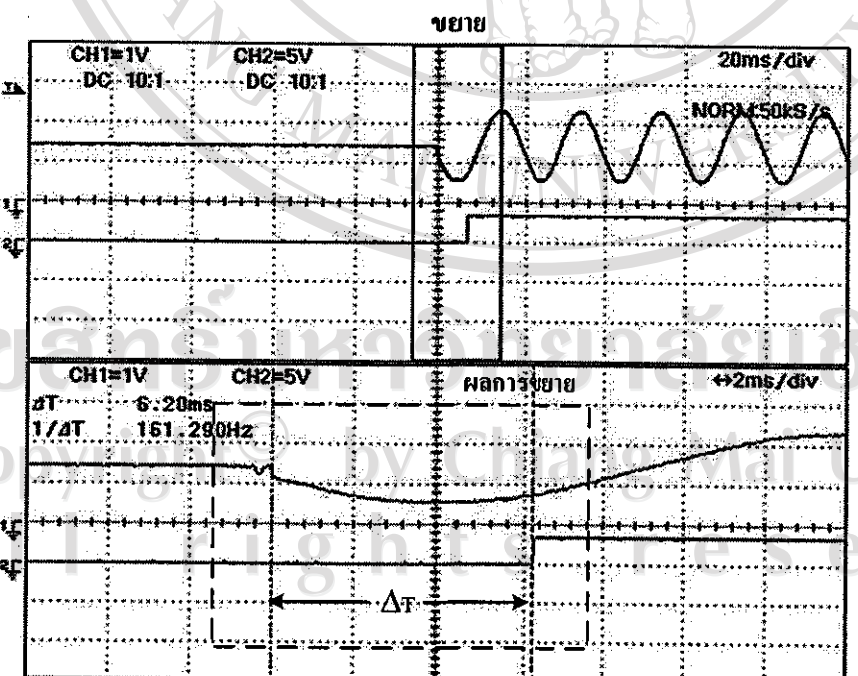
ก) กรณีที่มีเวลาหน่วงน้อยที่สุด



ข) กรณีที่มีเวลาหน่วงมากที่สุด

รูปที่ 5.14 จุดบนคลื่นของสัญญาณ ไซน์ที่มีผลต่อเวลาหน่วง

รูปที่ 5.15 แสดงเวลาหน่วงหลังจากเกิดแรงดันตกที่มีขนาดของแรงดันเหลือน้อยกว่า 10% พบร่วมกับเวลาหน่วงเท่ากับ 6.2 ms

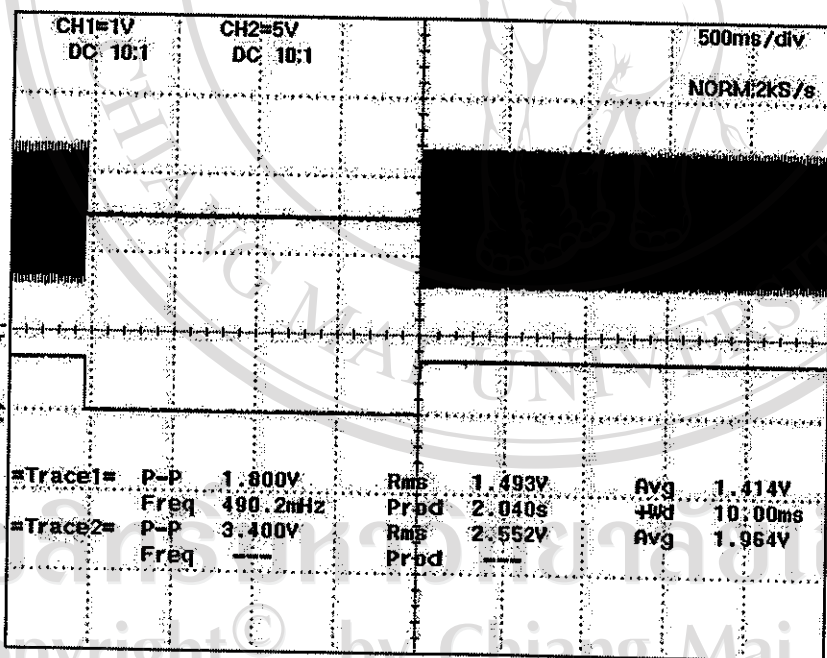


รูปที่ 5.15 เวลาหน่วงหลังจากเกิดแรงดันตกที่มีขนาดของแรงดันเหลือน้อยกว่า 10%

จากรูปที่ 5.15 เวลาหน่วงหลังจากเกิดแรงดันตกมีค่าเท่ากับ 6.2 ms ซึ่งจะมากกว่า 1/4 คาบ (5 ms) โดยเป็นผลเนื่องมาจากการดึงความต่ำผ่านในกระบวนการตรวจจับการรบกวน แต่ในสภาวะนี้ก็จะไม่มีผลกระทบต่อโหลดเพราะว่าโหลดยังคงเชื่อมต่อเข้ากับวงจรคอนเวอร์เตอร์ ซึ่งเป็นแหล่งจ่ายไฟฟ้าทดแทนในการณ์ที่เกิดแรงดันตกชั่วขณะอยู่แล้ว จึงทำให้โหลดยังสามารถได้รับแรงดันในสภาวะปกติ

5.5 ผลการทดสอบในการเปลี่ยนถ่ายโหลดระหว่างแหล่งจ่ายไฟฟ้า

รูปที่ 5.16 แสดงแรงดันตกที่มีขนาดของแรงดันเหลือน้อยกว่า 10% (Voltage interruptions) โดยตกลงไปหนึ่งเฟสแบบชั่วขณะ (Momentary) คือมีเวลาตกภายในช่วง 1-3 วินาที ต้นแบบอุปกรณ์ตรวจจับแรงดันตกชั่วขณะนิคสามเฟสสามารถตรวจจับเมื่อเกิดแรงดันตกได้โดย จะส่งสัญญาณ Trip Sag เพื่อเปลี่ยนการทำงานระหว่างสวิตช์หลักและสวิตช์ช่วยเพื่อเปลี่ยนถ่ายโหลดระหว่างแหล่งจ่ายไฟฟ้าได้อย่างทันทีทันใด จึงพบว่าสามารถนำไปประยุกต์ใช้ในการสร้างต้นแบบอุปกรณ์แก้ปัญหาแรงดันตกชั่วขณะนิคสามเฟสได้ต่อไป



รูปที่ 5.16 ผลการตรวจจับแรงดันตกที่มีขนาดของแรงดันเหลือน้อยกว่า 10%
โดยตกลงไปหนึ่งเฟสแบบชั่วขณะ